

УДК 681.513.6 : 519.24

АДАПТИВНОЕ КОРРЕКТИРОВАНИЕ КАНАЛА РАСПРОСТРАНЕНИЯ С ИНЕРЦИОННЫМИ ИСКАЖЕНИЯМИ СИГНАЛА

A. A. Мальцев, И. Е. Позументов

Теоретически исследуются характеристики адаптивного компенсатора временного канала распространения с инерционными искажениями сигнала. Получены явные выражения для весовых коэффициентов адаптивного компенсатора при экспоненциальной импульсной переходной характеристике среды. Показано, что при дельта-коррелированных входных воздействиях адаптивный фильтр может быть легко физически реализуем на базе трансверсального фильтра с двумя весовыми коэффициентами в отводах. Проведено обобщение полученных результатов на резонансный линейный канал распространения.

1. При распространении сигналов в различных средах происходит их искажение в соответствии с импульсной переходной характеристикой среды. Поэтому при приеме сообщений приходится использовать компенсаторы искажений сигналов, вносимых каналом их распространения [1].

Поскольку под действием различных факторов функция Грина среды изменяется со временем (вообще говоря, случайным образом), для корректирования канала распространения используются адаптивные методы [1-3].

В настоящей работе теоретически исследуются рабочие характеристики адаптивного компенсатора на примере выравнивания временного канала с экспоненциальной импульсной переходной характеристикой. Приводится обобщение полученных результатов при дельта-коррелированных входных воздействиях на резонансный линейный канал распространения. Показано, что в этом случае адаптивный компенсатор может быть легко физически реализуем на базе трансверсального фильтра с двумя комплексными весовыми коэффициентами в отводах.

2. На рис. 1 приведена функциональная схема эквивалентного канала распространения, состоящая из собственно канала распространения (1) и адаптивного компенсатора искажений сигнала (2). Для настройки адаптивного фильтра используется алгоритм наименьшей среднеквадратичной ошибки. При этом на вход эквивалентного канала распространения вместе с полезным сигналом $s(t)$ подается некоррелированный с ним опорный сигнал $d(t)$. Последний, например, может представлять собой псевдослучайный импульсный сигнал, генерируемых по заданному закону на входе и выходе канала распространения*.

Как известно, сигнал на выходе временного канала распространения с функцией Грина $h(\tau)$ можно представить следующим образом:

$$x_1(t) = \int_{-\infty}^{\infty} h(\tau) x(t - \tau) d\tau, \quad x(t) = s(t) + d(t), \quad (1)$$

* Заметим, что при стационарных во времени характеристиках канала распространения подача опорного сигнала $d(t)$ может быть прекращена после окончания процесса адаптации.

причем $h(\tau) \equiv 0$ при $\tau < 0$. Искаженный выходной сигнал $x_1(t)$ подается далее на адаптивный компенсатор, который представляет собой трансверсальный фильтр с адаптивно управляемыми весовыми коэффициентами в отводах (см. рис. 2).

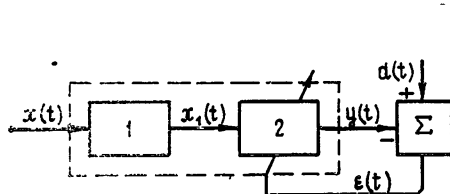


Рис. 1.

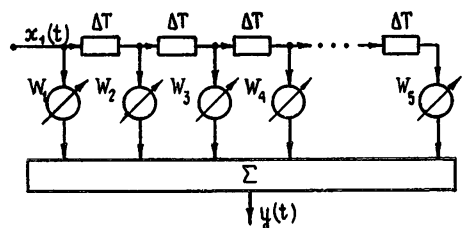


Рис. 2.

Оптимальное значение вектора весовых коэффициентов $\mathbf{W}^t \equiv (W_1, W_2, \dots, W_M)$ представляет собой известное решение Винера — Хопфа [2]:

$$\mathbf{W}^* = R_1^{-1} \mathbf{P}, \quad (2)$$

где $R_1 \equiv \langle X_1 X_1^t \rangle$, $\mathbf{P} \equiv \langle d(t) X_1 \rangle$, $X_1 \equiv (x_1(t), x_1(t - \Delta T), \dots, x_1(t - (M-1) \Delta T))$, надстрочный индекс «т» означает транспортирование.

Будем считать, что функция Грина $h(\tau)$ является экспоненциальной, т. е.

$$h(\tau) = b e^{-a\tau}, \quad \tau \geq 0.$$

Предположим, что в канале распространения происходит существенное искажение полезного сигнала, т. е. $a \tau_s \ll 1$. Тогда для идентификации этих искажений (с целью последующей компенсации) необходимо, чтобы время корреляции опорного сигнала τ_d было много меньше постоянной времени функции Грина $h(\tau)$: $\tau_d a \ll 1$. В этом случае матрицу ковариации R_1 можно представить в следующем простом виде:

$$R_1 = \frac{b^2}{a} (\sigma_s^2 \tau_s + \sigma_d^2 \tau_d) \begin{bmatrix} 1 & r & r^2 & \dots & r^{M-1} \\ r & 1 & r & \dots & r^{M-2} \\ \dots & \dots & \dots & \dots & \dots \\ r^{M-1} & r^{M-2} & r^{M-3} & \dots & 1 \end{bmatrix}, \quad (3)$$

где σ_s^2 и σ_d^2 — дисперсии $s(t)$ и $d(t)$, $r = e^{-a \Delta T}$ — коэффициент корреляции выходного сигнала канала распространения на элементарной задержке ΔT адаптивного фильтра.

Вектор взаимной корреляции \mathbf{P} при сделанных предположениях примет вид

$$\mathbf{P}^t = b \sigma_d^2 \tau_d [1, \rho_1, \rho_2, \dots, \rho_{M-1}], \quad (4)$$

где $\rho_i \equiv \sigma_d^{-2} \langle d(t) d(t - i \Delta T) \rangle$.

Для определения оптимального значения вектора весовых коэффициентов запишем явный вид обратной матрицы R_1^{-1} [4,5]:

$$R_1^{-1} = \frac{a}{b^2 (\sigma_d^2 \tau_d + \sigma_s^2 \tau_s)} \frac{1}{1 - r^2} \begin{bmatrix} 1 & -r & 0 & 0 & \dots & 0 \\ -r & 1 + r^2 & -r & 0 & \dots & 0 \\ \dots & \dots & \dots & \dots & \dots & \dots \\ 0 & 0 & 0 & 0 & \dots & 1 \end{bmatrix}. \quad (5)$$

Из (2) с учетом (4), (5)- найдем

$$W_1^* = \frac{\sigma_d^2 \tau_d}{\sigma_d^2 \tau_d + \sigma_s^2 \tau_s} \frac{a}{b(1-r^2)} (1 - r \rho_1),$$

$$W_i^* = \frac{\sigma_d^2 \tau_d}{\sigma_d^2 \tau_d + \sigma_s^2 \tau_s} \frac{a}{b(1-r^2)} [-r \rho_{i-2} + \rho_{i-1}(1+r^2) - r \rho_i], \quad i \neq 1, M,$$

$$W_M^* = \frac{\sigma_d^2 \tau_d}{\sigma_d^2 \tau_d + \sigma_s^2 \tau_s} \frac{a}{b(1-r^2)} (\rho_{M-1} - r \rho_{M-2}). \quad (6)$$

Определим также мощность сигнала ошибки $\langle \varepsilon^2 \rangle_{\min}$, величина которой характеризует эффективность работы адаптивного компенсатора канала:

$$\langle \varepsilon^2 \rangle_{\min} = \sigma_d^2 - P^* W^*. \quad (7)$$

Положим для простоты, что опорный сигнал $d(t)$ является экспоненциально коррелированным, т. е. $\rho_i = \exp(-i \Delta T / \tau_d) = r^i$. В этом случае подстановка (4), (6) в (7) приводит к следующему выражению для $\langle \varepsilon^2 \rangle_{\min}$:

$$\langle \varepsilon^2 \rangle_{\min} = \sigma_d^2 \left\{ 1 - \frac{a \sigma_d^2 \tau_d^2}{\sigma_d^2 \tau_d + \sigma_s^2 \tau_s} \frac{(1 - r)^2 - r^{2(M-1)} (1 - r^2)}{(1 - r^2)(1 - r^2)} \right\}. \quad (8)$$

Отсюда следует, что мощность сигнала ошибки тем меньше, чем больше мощность опорного сигнала $d(t)$ по сравнению с мощностью полезного сообщения $s(t)$.

3. Проанализируем полученные характеристики в случае, когда время корреляции опорного сигнала τ_d много меньше времени задержки между отводами ΔT ($\rho_i \rightarrow 0$). При этом (6) и (8) соответственно примут вид

$$W_1^* = \frac{D_d}{D_x} \frac{a}{b} \frac{1}{1-r^2}, \quad W_2^* = -\frac{D_d}{D_x} \frac{a}{b} \frac{r}{1-r^2},$$

$$W_i^* := 0, \quad i = 3, 4, \dots, M; \quad (9)$$

$$D_{\varepsilon_{\min}} = D_d \left[1 - \frac{D_d}{D_x} \frac{a \tau_k}{(1+a \tau_k)(1-r^2)} \right], \quad (10)$$

где $D_d = 2\sigma_d^2 \tau_k$ — спектральная плотность мощности случайного процесса $d(t)$, $D_x = D_d + D_s$.

Для оценки степени компенсации искажений, вносимых каналом распространения, исследуемой адаптивной системой, рассмотрим эквивалентную передаточную функцию канала распространения и адаптивного компенсатора $K_{\text{экв}}(\omega) = K_1(\omega)K_A(\omega)$, где $K_1(\omega) = |K_1(j\omega)|^2$ и $K_A(\omega) = |K_A(j\omega)|^2$ — квадраты модулей комплексных передаточных функций канала распространения сигнала и адаптивного фильтра.

На рис. 3 приведены графики передаточных функций эквивалентного канала распространения $K_{\text{экв}}(\omega)$ при разных значениях коэффициента корреляции r и $D_d \gg D_s$. Отсюда видно, что с ростом r область эффективного выравнивания канала увеличивается. За пределами этой области $K_{\text{экв}}(\omega)$ имеет изрезанный вид, обусловленный гребенчатой формой передаточной функции адаптивного фильтра (см. (9)).

Используя (9), легко получить трансцендентное уравнение, определяющее полосу корректирования канала распространения Π (на уровне $0,5 K_{\text{экв}}^{\max}(\omega)$):

$$\frac{2}{(1-r)^2} \left[1 + r^2 - 2r \cos \left(a \Delta T \frac{\Pi}{a} \right) \right] = 1 + \left(\frac{\Pi}{a} \right)^2.$$

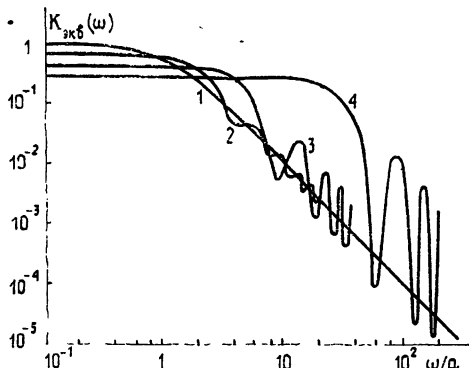


Рис. 3.

Рис. 3. Графики коэффициентов передачи эквивалентного канала распространения;
 $1 — r = 0, 2 — r = 0,2, 3 — r = 0,5, 4 — r = 0,9$.

Рис. 4 График зависимости полосы корректирования канала распространения Π/a от параметра $a \Delta T$.

Полагая $(a \Delta T)(\Pi/a) \ll 2\pi$, запишем последнее уравнение в следующем виде:

$$\left(\frac{\Pi}{a} \right)^4 + \frac{6}{r(a \Delta T)^4} [(1-r)^2 - 2r(a \Delta T)^2] \left(\frac{\Pi}{a} \right)^2 - \frac{6}{r(a \Delta T)^4} (1-r)^2 = 0.$$

На рис. 4 приведен график зависимости полосы выравнивания канала распространения (Π/a) от параметра $a \Delta T$. Пунктиром показан участок, где нарушается условие $(a \Delta T)(\Pi/a) \ll 2\pi$. Таким образом, для эффективной работы адаптивного фильтра необходимо, чтобы $a \Delta T \ll 1$ ($r \leq 1$, см. рис. 3). Последнее неравенство служит условием для выбора элементарной задержки ΔT адаптивного фильтра.

Отметим, что для компенсации искажений, вносимых каналом с $h(\tau) = be^{-a\tau}$ и при использовании в качестве $d(t)$ псевдослучайного сигнала с $\tau_d \ll \Delta T$, адаптивный фильтр, как следует из (9), может содержать только одну задержку ΔT с двумя весовыми коэффициентами W_1 и W_2 .

4. Рассмотрим адаптивное выравнивание канала распространения с импульсной переходной характеристикой $g(\tau) = h(\tau) \cos \omega_0 \tau$, где $h(\tau)$ — некоторая функция с характерным масштабом времени τ_h , с помощью адаптивного фильтра на линии задержки с двумя отводами ($M = 2$).

Поскольку сигнал на выходе канала распространения $x_1(i)$ является в этом случае узкополосным случайным процессом, то для одновременной регулировки амплитуды и фазы в i -м канале адаптивного фильтра ($i = 1, 2$) весовые коэффициенты W_i должны быть сделаны комплексными. Это достигается путем добавления к каждому каналу квадратурного канала со своим адаптивно подстраиваемым коэффициентом (см., например, [6]).

Матрица ковариации входных сигналов компенсатора $R_{1\omega_0}$ и вектор взаимной корреляции P_{ω_0} , определяющие оптимальное среднее

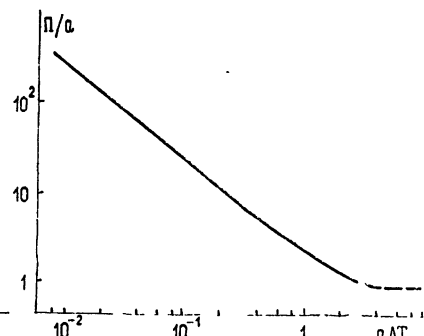


Рис. 4.

значение вектора весовых коэффициентов $\mathbf{W}_{\omega_0}^* = (W_{1c}^*, W_{1s}^*, W_{2c}^*, W_{2s}^*)$, в рассматриваемом случае (при $\tau_d \ll \Delta T$) имеют вид

$$R_{1\omega_0} = \frac{D_d}{2} \times$$

$$\times \begin{bmatrix} H[0] & 0 & H[\Delta T] \cos \omega_0 \Delta T - H[\Delta T] \sin \omega_0 \Delta T \\ 0 & H[0] & H[\Delta T] \sin \omega_0 \Delta T & H[\Delta T] \cos \omega_0 \Delta T \\ H[\Delta T] \cos \omega_0 \Delta T & H[\Delta T] \sin \omega_0 \Delta T & H[0] & 0 \\ -H[\Delta T] \sin \omega_0 \Delta T & H[\Delta T] \cos \omega_0 \Delta T & 0 & H[0] \end{bmatrix},$$

$$\mathbf{P}_{\omega_0}^r = (D_d/2) (h(0), 0, 0, 0), \quad (11)$$

где $H[\tau] = \int_{-\infty}^{\infty} h(\tau_1) h(\tau_1 - \tau) d\tau_1$ — функция корреляции 1-го рода функции $h(t)$ [7].

Из (2) и (11) находим оптимальные средние значения весовых коэффициентов адаптивного фильтра:

$$\begin{aligned} W_{1c}^* &= \frac{h(0)}{H[0](1 - r_{\omega_0}^2)}, & W_{1s}^* &= 0, \\ W_{2c}^* &= -\frac{r_{\omega_0} h(0)}{H[0](1 - r_{\omega_0}^2)} \cos \omega_0 \Delta T, & W_{2s}^* &= \frac{r_{\omega_0} h(0)}{H[0](1 - r_{\omega_0}^2)} \sin \omega_0 \Delta T, \end{aligned} \quad (12)$$

где $r_{\omega_0} = H[\Delta T]/H[0]$.

Выражения (12) определяют передаточную функцию компенсатора канала $K_A(\omega)$:

$$K_A(\omega) = |W_1^*|^2 + |W_2^*|^2 - 2|W_1^*||W_2^*| \cos(\omega - \omega_0)\Delta T, \quad (13)$$

где $|W_i^*| = \sqrt{W_{ic}^{*2} + W_{is}^{*2}}$, $i = 1, 2$.

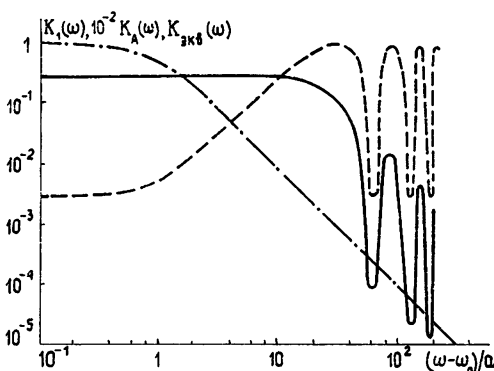


Рис. 5 Спектр мощности сигнала $d(t)$ на выходе канала $K_1(\omega)$ (штрихпунктирная линия) и коэффициенты передачи адаптивного фильтра $K_A(\omega)$ (пунктирная линия) и эквивалентного канала распространения $K_{3KB}(\omega)$ (сплошная линия)

Как следует из (13), функция $K_A(\omega)$ имеет провал на частотах ω вблизи ω_0 . Это свидетельствует о «выбелывании» сигнала $x_1(t)$ в полосе пропускания канала $g(\tau)$, т. е. происходит выравнивание передаточной функции эквивалентного канала распространения. Для иллюстрации на рис. 5 приведены кривые, соответствующие нормированному спектру мощности сигнала $d(t)$ на выходе канала распространения $K_1(\omega)$ (штрихпунктирная линия) при $h(\tau) \sim e^{-\alpha\tau}$ и передаточным функциям адаптивного фильтра $K_A(\omega)$ (штриховая линия) и эквивалентного канала распространения $K_{3KB}(\omega)$ (сплошная линия).

ная линия). Кривые построены при $H[\Delta T]/H[0] = 0.9$. Отсюда видно, что при выбранных параметрах эффективное корректирование канала наблюдается в области частот, которая более чем в 10 раз превышает полосу $K_1(\omega)$. Отметим также, что зависимость относительной полосы выравнивания от параметра $a\Delta T$ соответствует показанной на рис. 4.

Используя (11), (12), легко найти выражение для относительной среднеквадратичной ошибки, которое при $\Delta T \ll \tau_h$ примет следующий вид:

$$\frac{\langle \epsilon^2 \rangle}{\sigma_d^2} = 1 - \frac{h^2(0)}{2|H'[0]|} \frac{\tau_d}{\Delta T}. \quad (14)$$

Поскольку $\tau_d/\Delta T \ll 1$, то $\langle \epsilon^2 \rangle / \sigma_d^2 \sim 1$. Это объясняется тем фактом, что основная мощность опорного сигнала $d(t)$ приходится на частоты вне полосы эффективного выравнивания канала распространения Π .

ЛИТЕРАТУРА

- 1 Кловский Д.Д., Сойфер В.А. Обработка пространственно-временных сигналов.—М.: Связь, 1976.
- 2 Уидроу Б. и др.—ТИИЭР, 1975, 63, № 12, с. 69.
- 3 McCool J. M., Widrow B. Int. Spec. Semin. Impact. New. Techol. Signal Process. Aviemore, 1976.—London: 1976, p. 84.
- 4 Вайнштейн Л. А., Зубаков В. Д. Выделение сигналов на фоне случайных помех.—М.: Сов. радио, 1960.
- 5 Мальцев А. А., Патронис Е. Т.—Изв. вузов—Радиофизика, 1981, 24 № 3, с. 326.
- 6 Мальцев А. А., Музычук О. В., Позументов И. Е.—Радиотехника и электроника, 1978, 23, № 7, с. 1401.
- 7 Малахов А. Н. Флуктуации в автоколебательных системах.—М.: Наука, 1968.

Горьковский государственный
университет

Поступила в редакцию
11 июня 1980г.

ADAPTIVE CORRECTION OF A PROPAGATION CHANNEL WITH INERTIAL DISTORTIONS OF A SIGNAL

A. A. Mal'tsev, I. E. Pozumentov

Characteristics of adaptive compensator of a propagation channel with inertial distortions of a signal are theoretically investigated. Explicit expressions have been derived for weight coefficients of the adaptive compensator at the exponential transfer function of a medium. It is shown that with delta-correlated input actions the adaptive filter may be physically realized on the basis of a transversal filter with two weight coefficients in tapes. Generalization of results has been made for resonance linear channel of propagation.